

[Redacted text]

東 南 雅 尚
岡 田 島 司

[Redacted text]

当 事 者 以 上 記 載 事 項 等 一 切 認 可 申 請 書 中 記 載 事 項 等 認 可 申 請 書 中 記 載 事 項 等 認 可 申 請 書 中 記 載 事 項 等

[Redacted text]

准 止 記 事 項 等 一 切 認 可 申 請 書 中 記 載 事 項 等 認 可 申 請 書 中 記 載 事 項 等 認 可 申 請 書 中 記 載 事 項 等

[Redacted text]

表わす。

$$Y = aX + b$$

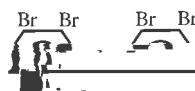
$$X = \frac{Y - b}{a}$$

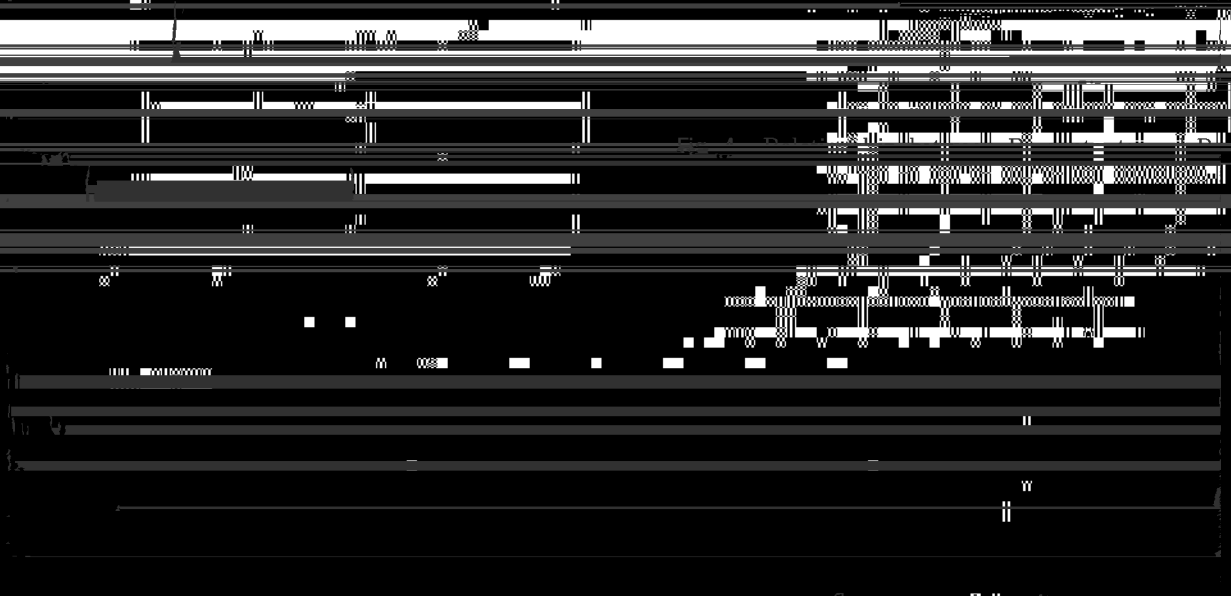
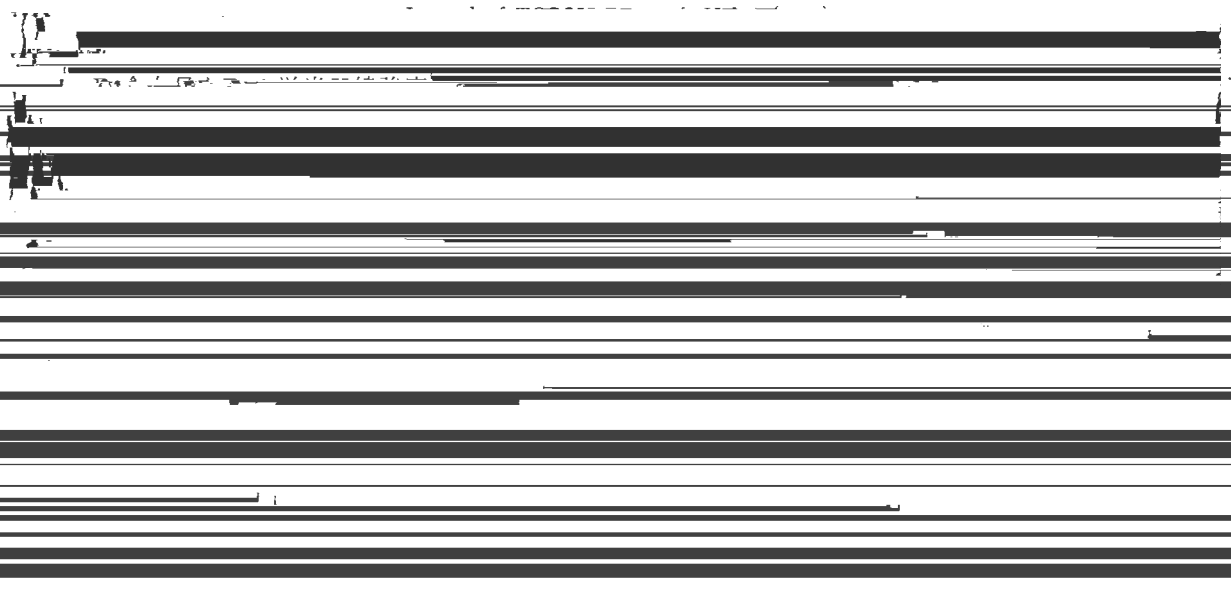
$$Y = a \left(\frac{Y - b}{a} \right) + b$$



Tetra bromkohlenstoff A

Br=58wt%





x-ray fluorescence intensity



contents (%)

0.6 0.8

Fig. 7 Multiple linear regression between

contents (wt%)

る手法に、理論計算を利用したプログラミング言語に

III

Method

0.2	0.6
0.5	0.9
1.3	1.0
	10

n is number of measured samples

MODEL 1.1

図13)の詳細を記す。



に付入) 2-... の... 甘... の... の... の...

メロ 二主八七... の... の... の... の...

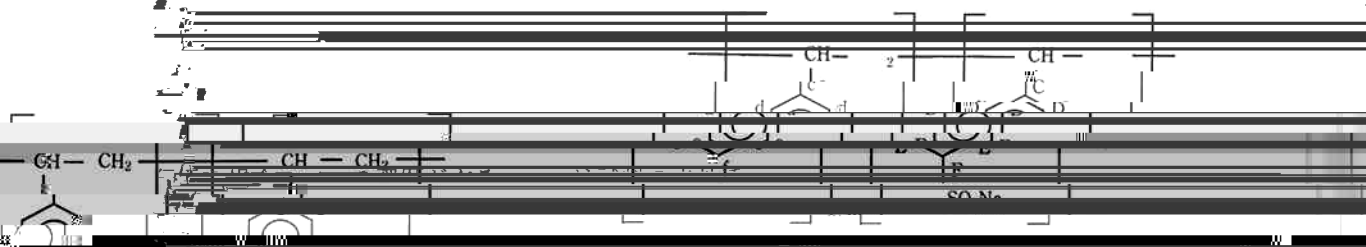
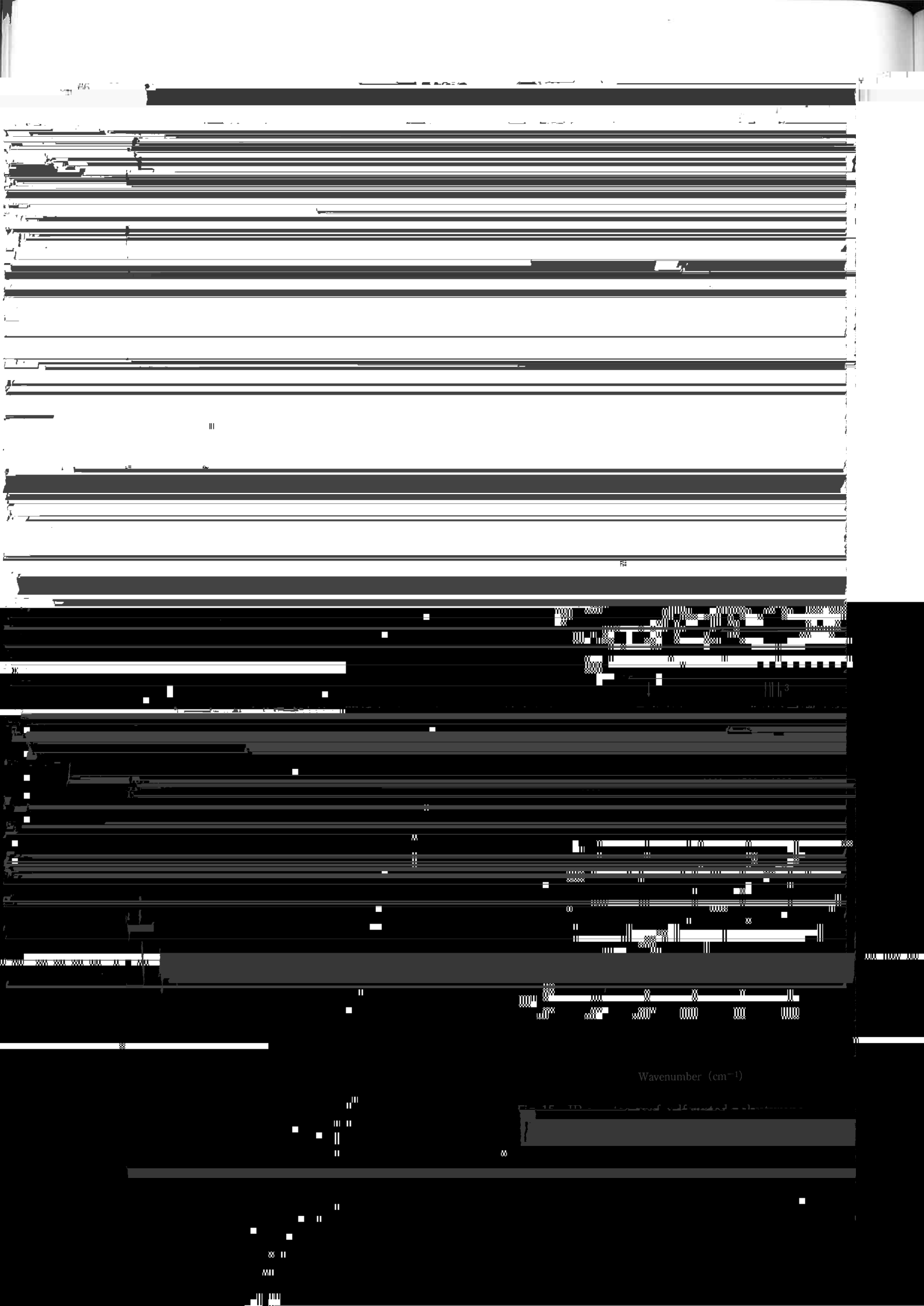


Figure 2. Infrared spectrum of the polymer. The x-axis represents the wavenumber in cm⁻¹, and the y-axis represents the transmittance. The spectrum shows characteristic absorption bands, including a strong band around 1600 cm⁻¹ and another around 700 cm⁻¹.



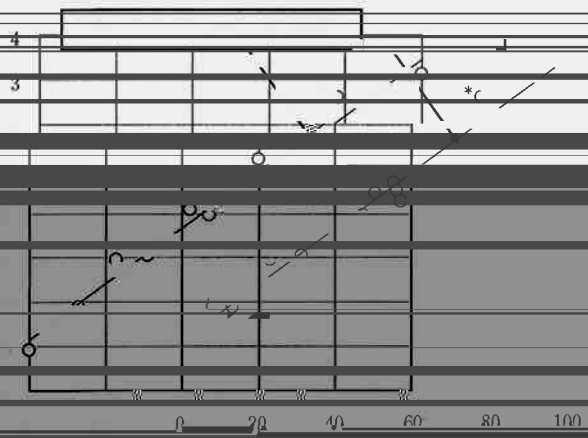


Fig. 16 Calibration curve of degree of sulfonation

ratio by DCP of first sulfonation



68°

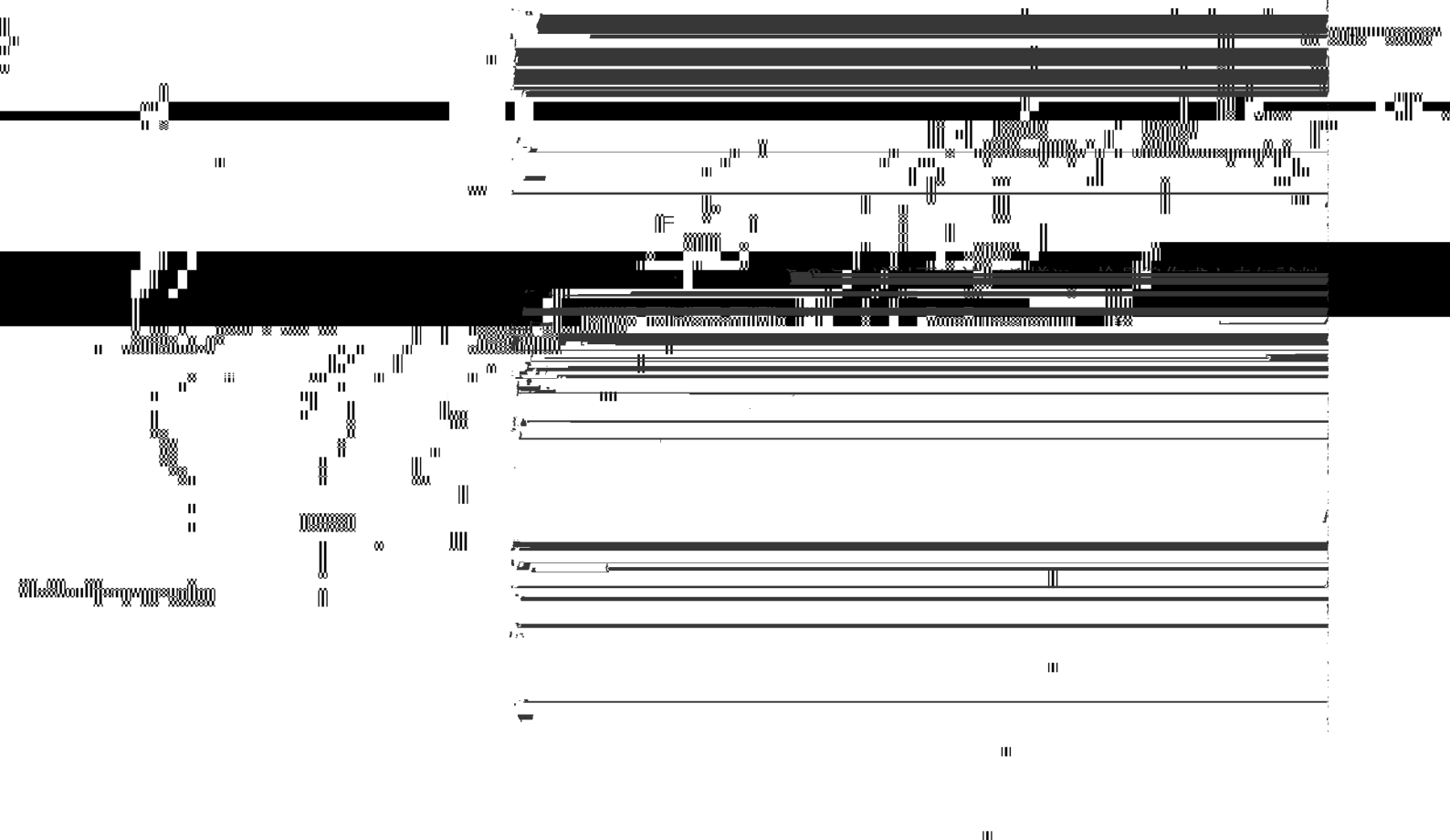


13 9

ure (IR spectra)

Ab_{un}($\tilde{\nu}$): (Unknown sample)

Ab_{std}($\tilde{\nu}$): (Std samples)



[The main body of the page is heavily obscured by horizontal black bars, rendering the text illegible.]

成及び未短時間管見の八概ラコ 六二六、一、二八八回短 西、測六法、庄、ラ六目、ラ、相入に、其、思、は、現、現、は、し

